

I-215 円筒断面柱と箱形断面横げたの接合部に関する実験

名古屋大学工学部	正員	福本曉士
名古屋大学工学部	正員	○久保全弘
名古屋大学大学院	学生員	伊井勇次
日本道路公团	正員	松下幸正
日本東軸製造(株)	正員	近藤正己

1. 実験の概要と目的

実橋の名称は佐倉B号橋といい、千葉県の成田空港に通ずる国道に架設される。その概要是橋長73.9m、支間2@36.5m、幅員10.5mの1等橋であり、型式は鋼T型ラーメン橋である。橋軸方向に4本の主げたが通り、支間中央で箱形断面横げたが主げたから荷重を横げたに剛接合されている円筒断面柱脚につながるという構造である。本報告はこの円筒断面柱と箱形断面横げたの接合部について載荷実験を行い、荷重変形性状、応力分布などに崩壊形式などを検討したものである。

2. 供試体

供試体は実橋で考えられる荷重状態に応じてつきの4種を製作した。

- 1). Type A: 軸力(P)
- 2). Type B: 軸力と曲げの組み合せ(P+M)
- 3). Type C: 軸力と曲げおよびねじりの組み合せ(P+M+T)
- 4). Type D: 曲げ(M)

供試体の寸法は実橋の設計断面力ならびに断面寸法とともに約1/3の縮尺になるようにし、また構成要素の板厚も実橋の幅厚比をもとにし、かつ局部座屈を生ずる限界の幅厚比および製作を考慮して決定した。その他、スチフナーなどはなるべく実橋にあらうように配置した。接合部の構造は横げたウェブが円筒内に割り込んだ形式になつておらず、その詳細と諸寸法は各供試体とも図-1に示すものに統一した。

3. 載荷と測定方法

実験の載荷装置は300t長柱試験機を用い鉛直方向に荷重が作用するように各供試体を設置して上記の4種の荷重状態になるようにした。写真-1はType Cの実験の全景である。荷重は弾性域では荷重制御を行ない、非弾性域に入つてからは縦方向にとりつけたダイヤルゲージを用いてひずみ制御により載荷した。

供試体の骨組線の変化および局部変形量はダイヤルゲージを用いて測定した。また、供試体周面のひずみ測定は単軸、2軸および3軸の直角ロゼットゲージを用いて測定し、とくに隅角部には応力分布がつかめるよう裏にシート貼った。

4. 実験結果

図-2はType BとType Cの荷重変化曲線を示すものである。

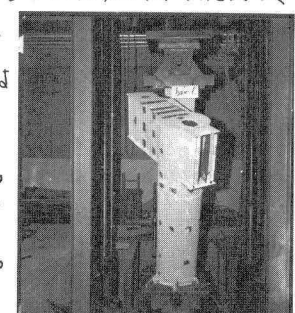
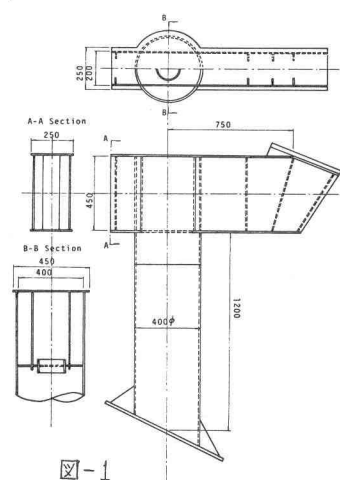


写真-1

図中、一実験線はねじり荷重を無視した $P - \delta$ の弾性の計算値である。Type Bの場合にこの直線とかなりよく一致しているが、Type Cでは付加ねじりモーメントにより初期の荷重段階から低下していくことがわかる。また、図中水平の破線は軸力における曲げモーメントの影響を考慮した相関式 $M/M_p = \cos(P/P_y, 90)^\circ$ から求めた荷重 P_p (塑性) の値である。

図-3(a), (b) は箱形断面の実験応力分布と $T(tm)/P(t)$ せん断応力分布を Type B と Type C について比較したものである。図中の実線はひずみ測定からえられた実測値を示し、また破線は計算値を示している。この図からも付加ねじりモーメントの影響が明確に認められる。

図-4 は無次元化したパラメータ、すなわち軸方向荷重 P/P_y 、曲げモーメント M/M_p 、およびねじりモーメント T/T_y をそれぞれ座標軸にとって、これらの相関性を三次元的に表わし、これに実験値をプロットしたものである。図中の実験値を示す () 内の数字は $(T/T_y, M/M_p, P/P_y)$ に対するもの。実験値は 3 平面の相関曲線に接する曲面の近傍に位置している様子が非常によくわかり、許容応力設計の観点からすると耐荷力にはかなりの余裕が確保されている。

供試体の崩壊形式は各タイプとも隅角部けた下フランジ接合部あたりに応力集中が起り、Type A, B, D では内面の局部底層で崩壊し、Type C ではねじりによる横げたウェブのせん断底層により崩壊した。

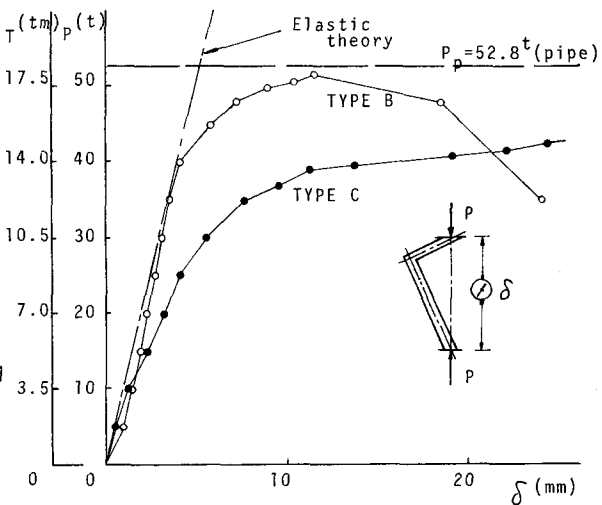


図-2

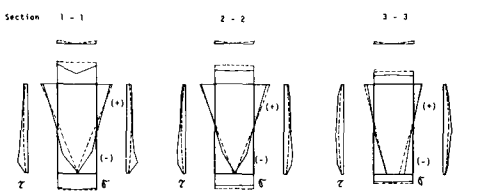


図-3(a)
 $(P=20.0^t)$

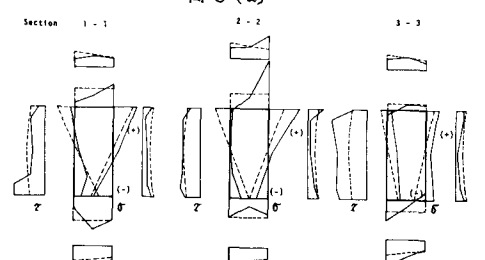


図-3(b)
 $(P=23.0^t)$

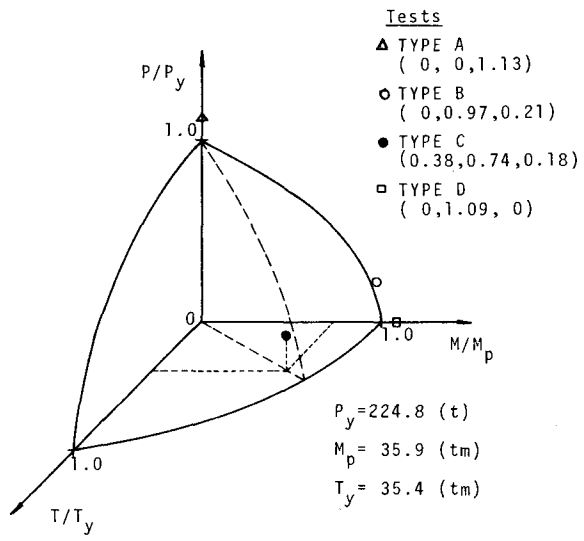


図-4